

京都大学防災研究所 正員・村本嘉雄
 " " " 道上正規
 三井建設(株) 伊丹正紀

南北水路流れの縱分散については、従来より多くの研究が行われ、一様水路の等流状態における分散係数の推定式は抵抗係数のそれと同様のレベルに近づいている。しかし、河川における分散係数に関する変化範囲が広く、流下方向一定とする場合が多くあり、Fick則が成立する分散域の存在しないものは多いという疑問も提起されている。こうした問題に関連して、本報告では、河道条件の流下方向変化の影響を注目し、一様水路・堰上げ・背水流れにおける分散実験を行った結果を述べる。

1 堰上げ・背水流れにおける分散

1.1 実験の概要：幅60cm、長さ150m、 $2/3$ 配 $1/500$ の長方形断面水路を用い、上流端より100m、断面の高さ11cmの堰を設置してある。流量は $Q=8, 13, 18 \text{ l/s}$ の三段階である。水深 h の流下方向変化を図-1に示す。上流端より10m、断面($x=0$)に堰水を瞬間的に投入し、下流 $x=20 \sim 80\text{m}$ 、断面の水深 $h/2$ 處、横方向2cmの濃度の時間的変化を測定した。

1.2 実験結果の検討：規格化された断面平均濃度 $f(t)$ の分散 σ_t^2 と f の重心到達時間 \bar{t}_c との関係および f のskewness S_t とFlatness F_t の流下方向変化を図-2~4に示す。 $\sigma_t^2 \sim \bar{t}_c$ の値は $x=20\text{m}$ の実測値を除けばほぼ直線的変化を示しており、分散域の厚さ t_c とLagrange time scale T_L との比 $t_c/T_L = 2 \sim 4$ である。等流状態のそれと同じ範囲である。一方、 S_t と F_t の値は図に線で示した等流状態のそれらに比べてはるかに小さく、堰上げ状態ではGauss分布への漸近が早い。

つづいて、routing法によて分散係数 D を推定した結果の一例を図-5に示す。移流速度は $\bar{x} \sim x$ の関係から求め、各点毎に変化させてある。 D の推定値は $200 \sim 300 \text{ cm}^2/\text{sec}$ ($D/f_0 \bar{t}_c = 11 \sim 15$)である。通常の一様水路では t_c を 11 l/s の値に近づける。また、 $\sigma_t^2 \sim \bar{t}_c$ より求めた D の値は $255 \sim 397 \text{ cm}^2/\text{sec}$ である。routing法による D より若干大きい値を示す。以上のように本実験結果、不等流では、分散係数を一定として移流速度の変化を考慮すれば濃度分布の変化を推定できる。

2 河川模型における分散

2.1 実験の概要：図-6に示す大戸川(溝渠)の $1/100$ 模型を用いた。水路は $2/3$ 配 $1/300$ の台形断面(底辺 5mm 、高さ 3mm)をつけており、以前の実験²⁾より流速の割離と跳水の発生をみていい。流量

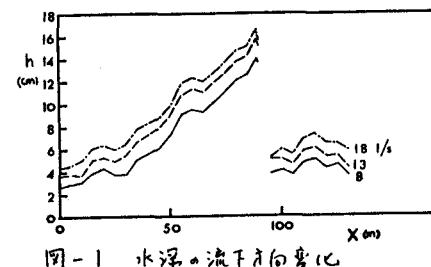


図-1 水深の流下方向変化

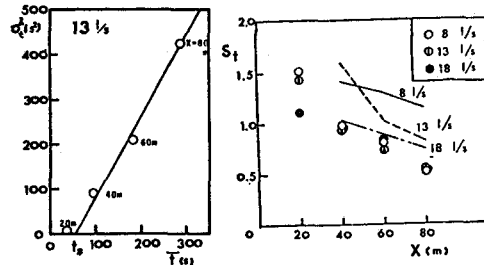


図-3 St ~ x

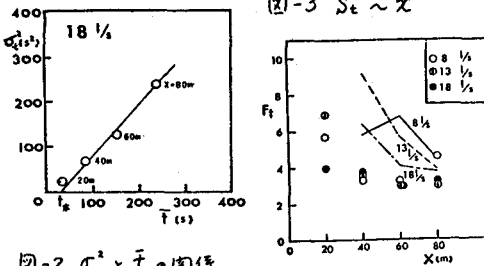


図-4 F_t ~ x

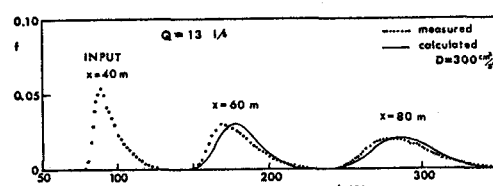


図-5 routing法による計算値と実験値との比較

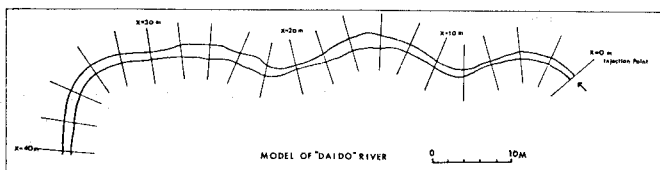


図-6 河川模型水路

$Q = 3, 5, 8 \text{ l/s}$ の三段階にて、塩水を上流端に投入し、 $x = 10 \sim 38 \text{ m}$, 15断面で濃度 $1/2$ 時間方向3点で濃度測定を行った。

2.2 実験結果の検討：断面平均濃度の $\bar{\sigma}_t^2$, F_t , S_t の流下方向変化の一例を示すと図-7～10 のようである。 $\bar{\sigma}_t^2 \sim x$ 以外は局所的かつ急激な変化のみらず、 σ_t^2 , F_t , S_t はほぼ対応した増減を示し Gauss 分布に漸近している。つまり、 $\sigma_t^2(x)$ を用いて流速分布から求めた平均流速 U を用いて局所的平均分散係数 $D(x)$ を計算した結果が図-11 に示されている。各流量 D の値は $3 \times 10^3 \text{ cm}^2/\text{sec}$ の範囲で差異化して周期的に変化の傾向がある。こうした D の流下方向変化は水路の平面形状(図-6)に対応して下流方向の移流速度が減少速度より早過するところ、生じておりと考えられる。すなわち、濃度 C の横方向 flux VC の鉛直平均値にて慣用式変換を用い、

$$-\bar{VC} = \bar{\sigma}_y \frac{\partial C}{\partial y} - \bar{vC} - \bar{uC} = \bar{\sigma}_y \frac{\partial C}{\partial y}$$

と表わすと、呈樹の横分散係数 $\bar{\sigma}_y$ が乱れ分散 $\bar{\sigma}_y$ と \bar{vC} , \bar{uC} に支配されることがわかる。单纯化 $V \sim U dB/dx$, $\bar{\sigma}_y \sim \hat{\sigma}_y = -BU dB/dx$ (B : 水拍高) にて $\hat{\sigma}_y(x)$ を計算した結果が図-11 に示されている。分散域(x 相当 $10 \sim 20 \text{ m}^2$)では D と $\hat{\sigma}_y$ の符号変化は対応していない。本実験の場合では弯曲より水拍高変化率の影響が顕著である。しかし、 $D = -\hat{U}^2 B / (U dB/dx)$ と実測の D とは一定比率で、水拍高の変化に伴う D の推定には $\hat{\sigma}_y$, V が用いられる計算が必要である。一方、直角の平均的平均分散係数を推定するため $x = 28 \sim 38 \text{ m}$ の f にて routing 法を適用した結果が図-12 に示されている。また、 D の推算値と σ_t^2 から求めた値は $420 \text{ cm}^2/\text{sec}$, Fisher の方法による値は $598 \text{ cm}^2/\text{sec}$, 3断面法による値は $13400 \text{ cm}^2/\text{sec}$, f_{max} と t_p の関係(図-13)から求めた値は $150 \text{ cm}^2/\text{sec}$ である。また、 f_{max} の推算値と routing 法による値(値 $D = 200 \text{ cm}^2/\text{sec}$)は近く。

- 1) 村本・道上・伊丹：昭和51年度東西支部年譜，2) 村本・伊丹：昭和50年度東西支部年譜，3) 村本・道上・中川：水理講究会論文集

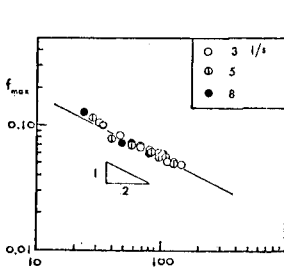


図-13 $f_{max} \sim t_p$

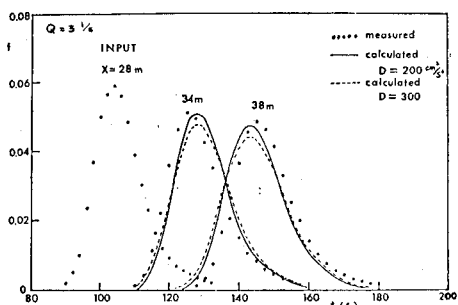


図-12 計算値と実験値の比較

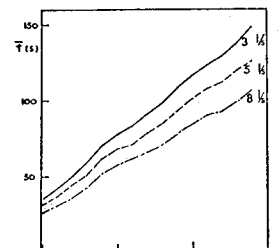


図-7 $\bar{\sigma}_t^2 \sim x$

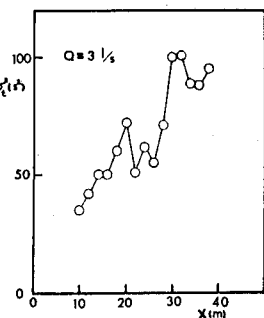


図-8 $F_t \sim x$

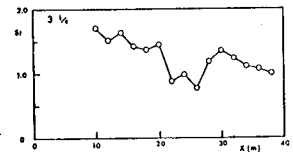


図-9 $S_t \sim x$

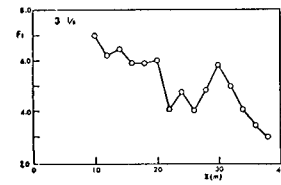


図-10 $F_t \sim x$

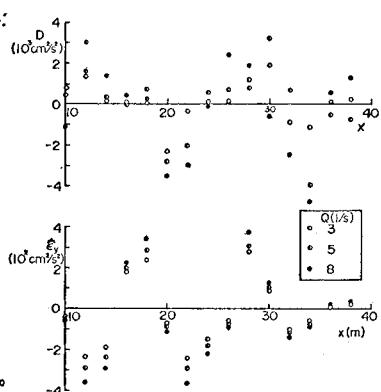


図-11 $D, \hat{\sigma}_y \sim x$